



Параметры закрытого состояния

Параметр		Значение параметра	Условия установления норм на параметры
Буквенное обозначение	Наименование, единица измерения	TS161-160 TS161-200 TS171-250 TS171-320	
U_{DSM}	Неповторяющееся импульсное напряжение в закрытом состоянии, В, для классов: 2 4 6 8 10 12 13	350 450 670 900 1100 1300 1400	$T_{jm} = 125^{\circ}C$. Импульс напряжения синусоидальный однополупериодный одиночный длительностью не более 10 мс в каждом направлении. Цепь управления разомкнута.
U_{DRM}	Повторяющееся импульсное напряжение в закрытом состоянии, В, для классов: 2 4 6 8 10 12 13	200 400 600 800 1000 1200 1300	$T_{jm} = 125^{\circ}C$. Напряжение синусоидальное, частотой 50 Гц. Цепь управления разомкнута.
U_{DWM}	Рабочее импульсное напряжение в закрытом состоянии, В	$0,8U_{DRM}$	
U_D	Постоянное напряжение в закрытом состоянии, В	$0,6U_{DRM}$	$T_c = 85^{\circ}C$
$(dU_D/dt)_{com}$	Критическая скорость нарастания коммутационного напряжения, В/мкс, не менее для групп: 2 3 4 5 6 7 8	4 6,3 10 16 25 50 100	$t_{u\ min} = 250$ мкс, $t_G = 1$ мс, длительность фронта импульса управления не более 5 мкс, сопротивление цепи управления не более 50 Ом.
I_{DRM}	Повторяющийся импульсный ток в закрытом состоянии, мА, не более	3,0	$T_{jm} = 25^{\circ}C$ Цепь управления разомкнута.
		20,0	$T_{jm} = 125^{\circ}C$ Цепь управления разомкнута.

Параметры открытого состояния

Параметр		Значение параметра				Условия установления норм на параметры
Буквенное обозначение	Наименование, единица измерения	TS161-160	TS161-200	TS171-250	TS171-320	
I_{TRMSM}	Максимально допустимый действующий ток в открытом состоянии, А	160	200	250	320	$T_c=85^\circ\text{C}$ Импульсы тока синусоидальные частотой 50 Гц, угол проводимости 360 град. эл.
I_{TSM}	Ударный ток в открытом состоянии, кА	1,8	2,2	2,9	3,6	$T_j=25^\circ\text{C}$
		1,6	2,0	2,6	3,3	$T_{jm}=125^\circ\text{C}$ Импульс тока синусоидальный одиночный длительностью не более 10 мс, $U_R=0$, $I_G=I_{GT}$ при T_{jmin} .
U_{TM}	Импульсное напряжение в открытом состоянии, В, не более	1,7	1,6	1,65	1,55	$T_j=25^\circ\text{C}$, $I_T=1,4I_{TRMSM}$
$U_{T(ТО)}$	Пороговое напряжение в открытом состоянии, В, не более	1,0	0,95	1,0	0,95	$T_{jm}=125^\circ\text{C}$
r_T	Динамическое сопротивление в открытом состоянии, МОм, не более	2,6	2,35	2,0	1,5	$T_{jm}=125^\circ\text{C}$
I_{TRMS}	Максимально допустимый действующий ток в открытом состоянии при $T_a=40^\circ\text{C}$, А	охладитель O171		охладитель O281		охлаждение:
		62	66	92	101	естественное
		124	134	174	195	принудительное $v=6$ м/с

Параметры переключения

Параметр		Значение параметра		Условия установления норм на параметры
Буквенное обозначение	Наименование, единица измерения	TS161-160	TS161-200 TS171-250 TS171-320	
$(di_T/dt)_{crit}$	Критическая скорость нарастания тока в открытом состоянии, А/мкс	40		$T_{jm}=125^\circ\text{C}$, $U_D=0,67U_{DRM}$, $I_T=2I_{TAVM}$ Импульсы тока частотой 50 Гц.
		100		$T_{jm}=125^\circ\text{C}$, $U_D=0,67U_{DRM}$, $I_T=2I_{TAVM}$ Импульсы тока частотой 1 Гц, $t_{IG}=50$ мкс; амплитуда - $3I_G$ (при T_{jmin}); длительность фронта не более 1 мкс. Внутреннее сопротивление источника управления 5 Ом. Время испытаний не менее 1 мин.

Параметры управления

Параметр		Значение параметра		Условия установления норм на параметры
Буквенное обозначение	Наименование, единица измерения	TS161-160 TS171-250	TS161-200 TS171-320	
U_{GT}	Отпирающее постоянное напряжение управления, В, не более	3,5		$T_j=25^{\circ}\text{C}$, $U_D=12\text{ В}$
		7,0		$T_{j\text{min}}=-60^{\circ}\text{C}$, $U_D=12\text{ В}$
I_{GT}	Отпирающий постоянный ток управления, мА, не более	200		$T_j=25^{\circ}\text{C}$, $U_D=12\text{ В}$
		550		$T_{j\text{min}}=-60^{\circ}\text{C}$, $U_D=12\text{ В}$
U_{GD}	Неотпирающее постоянное напряжение управления, В, не менее	0,25		$T_{jm}=125^{\circ}\text{C}$, $U_D=0,67U_{\text{DRM}}$

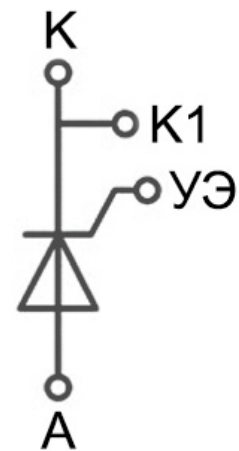
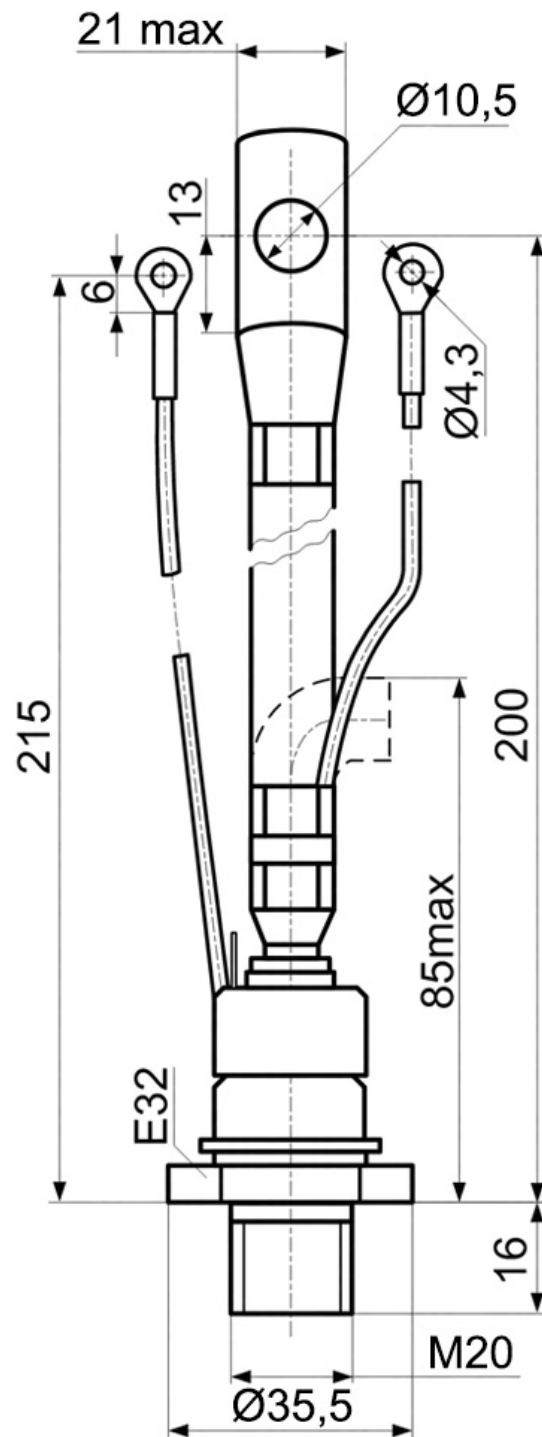
Тепловые параметры

Параметр		Значение параметра				Условия установления норм на параметры
Буквенное обозначение	Наименование, единица измерения	TS161-160	TS161-200	TS171-250	TS171-320	
T_{jm}	Максимально допустимая температура перехода, $^{\circ}\text{C}$	125				
$T_{j\text{min}}$	Минимально допустимая температура перехода, $^{\circ}\text{C}$	минус 60				
T_{stgm}	Максимально допустимая температура хранения, $^{\circ}\text{C}$	50 (60 для T3)				
T_{stgmin}	Минимально допустимая температура хранения, $^{\circ}\text{C}$	минус 60 (минус 10 для T3)				
R_{thjc}	Тепловое сопротивление переход\корпус, $^{\circ}\text{C}/\text{Вт}$, не более	0,15	0,13	0,1	0,09	Постоянный ток
R_{thch}	Тепловое сопротивление корпус\охладитель, $^{\circ}\text{C}/\text{Вт}$, не более	0,05				
R_{thja}	Тепловое сопротивление переход\среда, $^{\circ}\text{C}/\text{Вт}$, не более	охладитель O171		охладитель O281		охлаждение:
		1,3	1,28	0,85	0,84	естественное
		0,56	0,54	0,39	0,38	принудительное $v=6\text{ м/с}$

ГАБАРИТНЫЕ РАЗМЕРЫ

TS161-200

Тип корпуса: ST6



К – катод;

А – анод;

К1 – вспомогательный катод;

УЭ – управляющий электрод;

Все размеры в миллиметрах

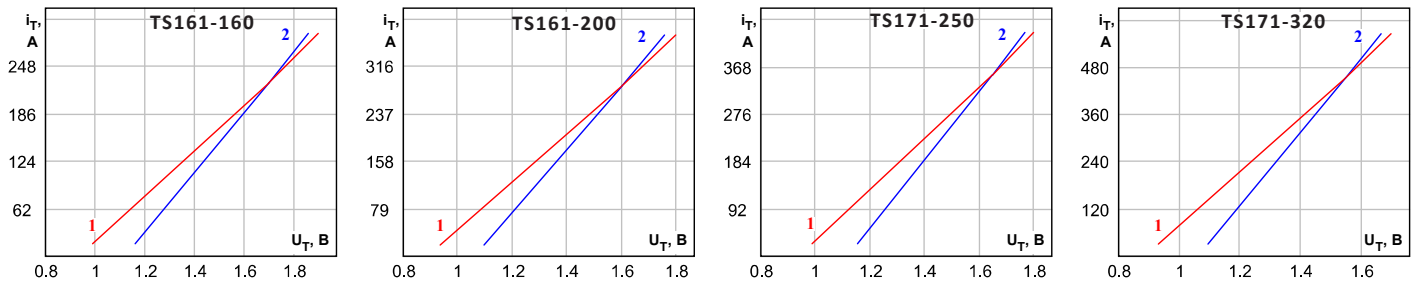


Рисунок 1: Предельные вольтамперные характеристики при максимально допустимой температуре перехода T_{jm} (1) и температуре $T_j=25^\circ\text{C}$ (2), $I_T=1,41 I_{TRMS}$

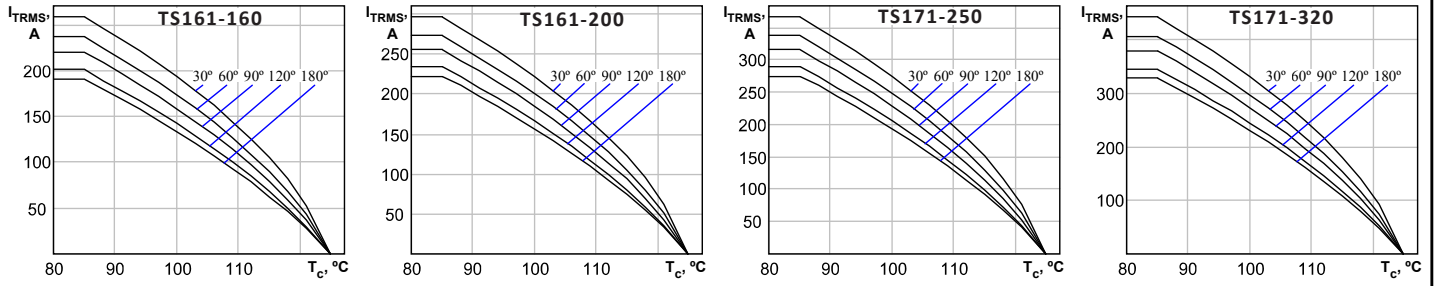


Рисунок 2: Зависимость допустимого действующего тока в открытом состоянии I_{TRMS} синусоидальной формы частотой 50 Гц при различных углах проводимости от температуры корпуса T_c .

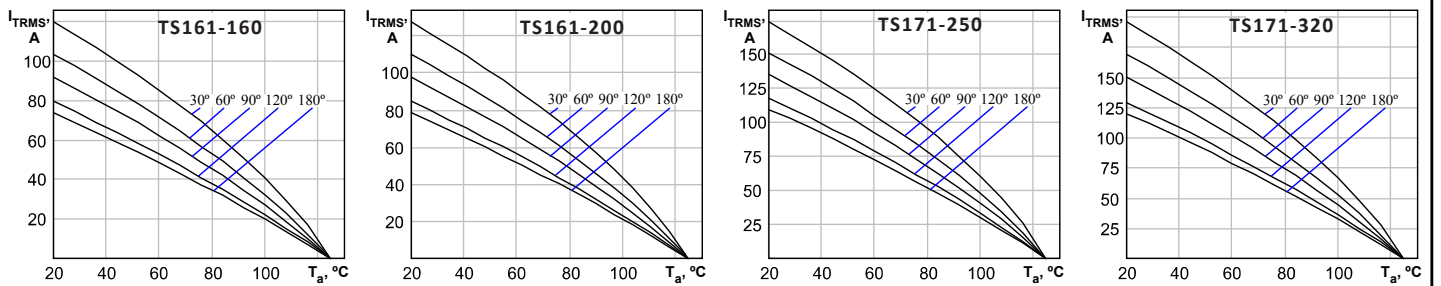


Рисунок 3: Зависимость допустимого действующего тока в открытом состоянии I_{TRMS} синусоидальной формы частотой 50 Гц при различных углах проводимости от температуры окружающей среды T_a при естественном охлаждении TC161 на O171, TC171 на O281.

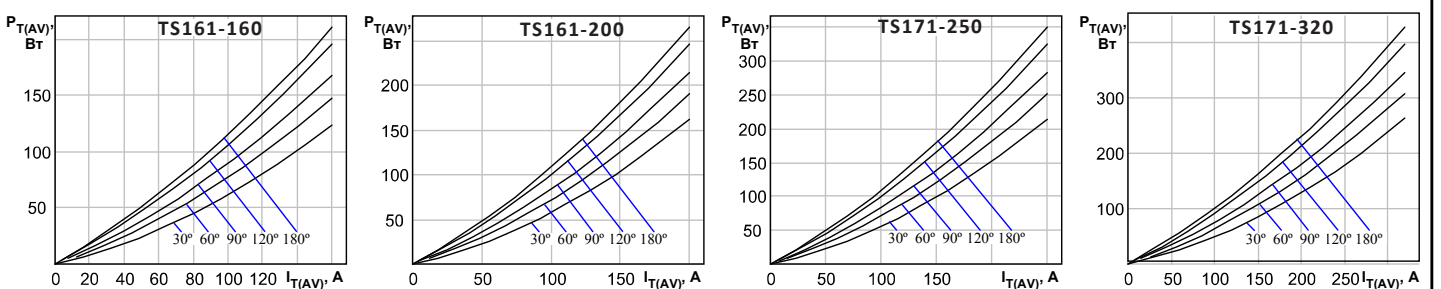


Рисунок 4: Зависимость средней мощности потерь $P_{T(AV)}$ от действующего значения тока $I_{T(AV)}$ в открытом состоянии синусоидальной формы частотой 50 Гц при различных углах проводимости.

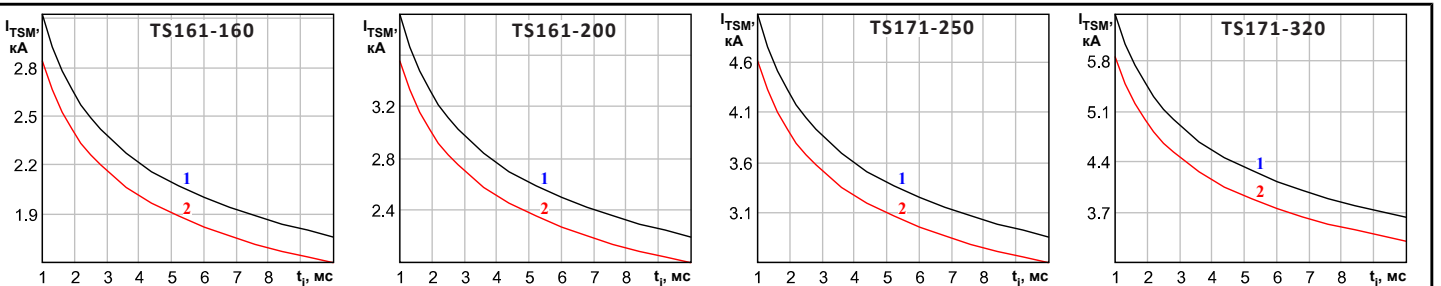


Рисунок 5: Зависимость допустимой амплитуды ударного тока в открытом состоянии I_{TSM} от длительности импульса тока t_i при исходной температуре структуры $T_j=25^\circ\text{C}$ (1) и максимально допустимой температуре перехода T_{jm} (2).

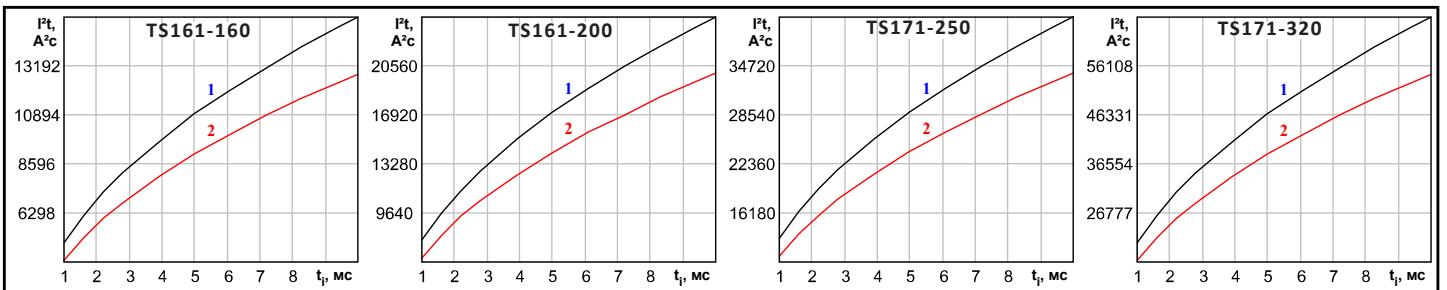


Рисунок 6: Зависимость защитного показателя I^t от длительности импульса тока t_i при исходной температуре структуры $T_j=25^\circ C$ (1) и максимально допустимой температуре перехода T_{jm} (2).